

ارائه یک رویکرد بهینه جدید مبتنی بر پیش‌بینی برای تخمین متغیرهای حالت ژيروسکوپ MEMS

سعید کاشفی^۱، مجید حاجتی پور^۲

۱- دکتری برق - کنترل، دانشکده مهندسی برق و کامپیوتر، گروه کنترل، دانشگاه کاشان، s.kashefi@grad.kashanu.ac.ir

۲- استادیار، دانشکده مهندسی برق و کامپیوتر، گروه کنترل، دانشگاه کاشان، hajatipour@kashanu.ac.ir

*نویسنده مخاطب: سعید کاشفی

چکیده

در این مقاله برای ژيروسکوپ MEMS که به دلیل پارامترهای متغیر بازمان و اغتشاش دارای عدم تطابق بین دو محور ارتعاشی است، یک رویکرد بهینه برای تخمین متغیرهای حالت آن بر مبنای روش جدید ارائه می‌گردد. در این روش ابتدا بسط سری تیلور حالت‌های سیستم ژيروسکوپ و رویکرد آن در یک افق پیش‌بینی با مرتبه دلخواه استخراج شده و در ادامه یک حل تحلیلی مبتنی بر حل مسئله کمینه‌سازی خطای پیش‌بینی بدست می‌آید که یک شکل حلقه بسته رویکرد بهینه را ارائه می‌دهد. بهره رویکرد بهینه از میان تمامی بهره‌هایی که از حل مسئله کمینه‌سازی خطای پیش‌بین بدست آمده و پایداری را برآورده می‌کنند، انتخاب می‌گردد. در نهایت کارایی این روش در تخمین حالت‌ها با نتایج شبیه‌سازی نشان داده می‌شود.

واژه‌های کلیدی: ژيروسکوپ MEMS - رویکرد بهینه - پیش‌بینی - پارامتر متغیر با زمان.

۱- مقدمه

در سال‌های اخیر از ژيروسکوپ‌های MEMS به دلیل اندازه کوچک، مصرف برق و هزینه کم به وفور در اندازه‌گیری و کنترل استفاده شده است [۱-۵]. علاوه بر این ژيروسکوپ‌های MEMS به دلیل قابلیت اندازه‌گیری سرعت زاویه‌ای معمولاً در کاربردهایی مانند خودرو و سیستم‌های ناوبری استفاده می‌شوند. اما عملکرد ژيروسکوپ MEMS متأثر از اغتشاشات خارجی و پارامترهای متغیر با زمان است که اثرات آن‌ها فرکانس نوسانی را ایجاد کرده که موجب عدم تطابق بین دو محور ارتعاشی می‌گردد [۶]. بنابراین، نیاز به استفاده از رویکرد کنترل مناسب بویژه کنترل مقاوم برای حل این چالش وجود دارد [۷، ۸]. از آنجا که در طراحی و پیاده‌سازی کنترل نیاز به متغیرهای حالت سیستم می‌باشد، لذا می‌توان از رویکرد به منظور تخمین متغیرهای حالت بهره گرفت.

در بررسی رویکردهای بهینه، خانواده فیلتر کالمن و تخمین‌گرهای افق متحرک (MHE)^۱ بخوبی شناخته شده‌اند. در این دسته از تخمین‌گرها، بهره بر اساس بهینه‌سازی تابع هزینه تعریف شده تنظیم می‌گردد. به عنوان مثال در تخمین‌گرهای افق متحرک، تخمین به حل برخط^۲ مسئله بهینه‌سازی افق محدود، پنجره تخمین تعریف شده در حضور قیود، نویز و اغتشاش بستگی دارد [۸-۱۱]. اگرچه رویکردهای بهینه مانند افق متحرک می‌توانند تاحدی در برابر نویز و اغتشاش مقاوم باشند، اما دارای برخی مشکلات و چالش‌ها در حالت پیاده‌سازی هستند.

بطور کلی در این نوع از رویکردها، بهینه‌سازی به صورت برخط بوده و می‌تواند در حالت پیاده‌سازی به دلیل وجود بعضی محدودیت‌ها، غیر محدد گردد [۱۲ و ۱۳] و در نتیجه ممکن است سبب گرفتاری در کمینه‌های محلی و به عبارتی، دور شدن از شرایط بهینه شود.

علاوه بر این، بهینه‌سازی برخط به عملیات محاسباتی سنگینی نیازمند است که در حالت پیاده‌سازی، این مسئله مستلزم محاسبات سریع و در عین حال زمان نمونه برداری خیلی کوتاه می‌باشد و این موضوع می‌تواند یک چالش برای سیستم‌های با دینامیک سریع محسوب شود. با این وجود، در برخی از مطالعات به صورت محدود سعی بر غلبه بر این دشواری با استفاده از روش تقریب برای بهینه‌سازی برون خط^۳، در تخمین‌گرهای افق متحرک شده است [۱۳-۱۵]. در [۱۳] یک ایده با هدف شناسایی برون خط رابطه بین توالی داده‌های اندازه‌گیری (ورودی/خروجی) و حالت اولیه متناظر آنها، در ابتدای پنجره متحرک ارائه شده و در ادامه در [۱۴] پیاده‌سازی این ایده با استفاده از ویژگی تقریب‌گیری شبکه‌های عصبی انجام شده است.

در مورد سایر رویکردهای بهینه، برخی مطالعات محدود در زمینه تخمین بهینه متغیرهای حالت انجام شده است [۱۶-۱۸]. تخمین بهینه بر مبنای کمینه‌سازی خطای تخمین حالت برای سیستم‌های خطی تغییر ناپذیر با زمان با نرخ همگرایی دلخواه و بصورت برون خط^۴ در [۱۶] به شکل رویکرد مرتبه کامل^۳ و در [۱۷] به شکل رویکرد مرتبه کاهش یافته^۴ ارائه شده است. علاوه بر این، مرجع [۱۸] یک رویکرد بهینه بر مبنای کمینه‌سازی خطای تخمین خروجی سیستم (نه تمامی حالت‌های سیستم) و مبتنی بر حل برون خط مسئله بهینه‌سازی ارائه می‌کند و سپس با حل برخط مسئله بهینه‌سازی و تقریب ترم بهینه رویکرد با استفاده از ایده برنامه ریزی پویا^۵، این رویکرد بهینه ارائه می‌شود.

با این وجود در تمامی این روش‌ها صرفنظر از خطی یا غیرخطی بودن سیستم و عدم وجود تمامی حالت‌ها در تابع هزینه، کمینه‌سازی خطای تخمین در زمان فعلی بدون رویکرد پیش‌بینی انجام شده است. از طرف دیگر در مورد پیش‌بینی حالت‌های یک سیستم غیرخطی به صورت بهینه مطالعات قابل توجهی وجود ندارد. لذا یک رویکرد مناسب می‌تواند تقریب دینامیک متغیر با زمان با مرتبه دلخواه باشد که در این مقاله به آن پرداخته می‌شود. در این روش، حالت‌های سیستم و تخمین آنها از طریق بکارگیری بسط سری تیلور با مرتبه دلخواه در جهت افزایش دقت تخمین، تقریب زده می‌شوند. اگرچه تقریب حالت‌های یک سیستم ممکن است، ارائه تحلیل پایداری سیستم را پیچیده‌تر کند، اما می‌تواند نگرش مستقیمی

^۱ Full-order observer
^۲ Reduced-order observer
^۳ Approximate dynamic programming

^۱ Moving Horizon Estimator
^۲ On-line

که در آن

$$x = [q, \dot{q}], A = \begin{bmatrix} 0 & 1 \\ 0 & 0 \end{bmatrix}, B = \begin{bmatrix} 0 \\ 1 \end{bmatrix}, C = [1, 0], \quad (4)$$

$$f(x, u) = -(D + 2\Omega)\dot{q} - K_b q + u$$

فرض ۱. تابع $f(x, u)$ شرط لیپشیتز را نسبت به x برآورده می‌کند. یعنی برای تمامی x و \hat{x} ها یک عدد ثابت مثبت α وجود دارد بطوریکه:

$$\|f(x, u) - f(\hat{x}, u)\| \leq \alpha \|x - \hat{x}\| \quad (5)$$

۳- طراحی رویترگر بهینه مبتنی بر پیش‌بینی

در ابتدا متغیر حالت $x_i(t)$ در یک افق پیش‌بینی با سری تیلور تا مرتبه $r \geq n = 2$ تقریب زده می‌شود.

$$x_i(t + \tau) \cong x_i(t) + \tau \dot{x}_i(t) + \dots + \frac{\tau^r}{r!} x_i^{[r]}(t) \quad (6)$$

$$T_1 \leq \tau \leq T_2$$

یا به عبارت دیگر

$$x_i(t + \tau) \cong \theta^T X_i(t), \theta = \left[1, \tau, \dots, \frac{\tau^r}{r!} \right]^T \quad (7)$$

و

$$X_i(t) = [x_i(t), x_i^{[1]}(t), \dots, x_i^{[r]}(t)]^T$$

$$= \left[\begin{array}{c} x_i(t), x_{i+1}(t), \dots, x_2(t), \\ f(x, u), \dots, z_{i+r-3}(x, u, \dots, u^{[i+r-3]}) \end{array} \right]^T, \quad (8)$$

$$i = 1, 2$$

که در آن

$$z_0(x, u) = f(x, u)$$

$$z_1(x, u, \dot{u}, t) = f^{[1]}(x, u)$$

$$= \frac{\partial f(x, u)}{\partial x} \dot{x} + \frac{\partial f(x, u)}{\partial u} \dot{u},$$

$$z_2(x, u, \dot{u}, \ddot{u}) = f^{[2]}(x, u) \quad (9)$$

$$\vdots$$

$$z_{r-n}(x, u, \dots, u^{[r-2]}) = f^{[r-2]}(x, u),$$

$$\vdots$$

$$z_{r-1}(x, u, \dots, u^{[r-1]}) = f^{[r-1]}(x, u)$$

براساس روابط فوق معادلات دینامیک رویترگر پیشنهادی بصورت زیر در نظر گرفته می‌شود.

$$\hat{\dot{x}}(t) = A\hat{x}(t) + B(u_0(t))$$

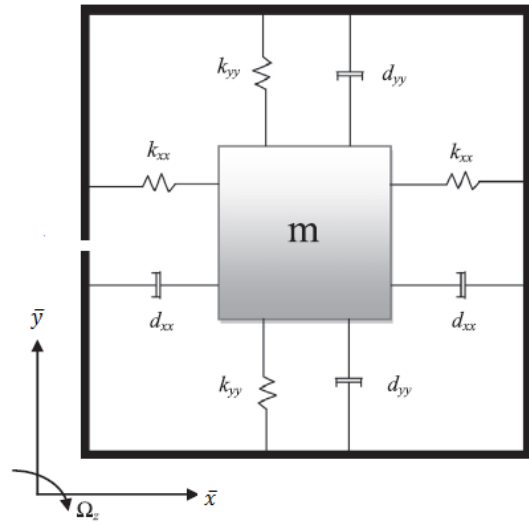
$$\hat{y}(t) = C\hat{x}(t) \quad (10)$$

که در آن $u_0(t)$ ترم اصلی رویترگر بهینه بوده که در ادامه بدست می‌آید. از طرفی دینامیک خطای تخمین با استفاده از روابط (۲) و (۹) بصورت زیر بدست می‌آید.

از رفتار و عملکرد دینامیک غیرخطی سیستم فراهم نماید و رفتار گذرای سیستم اصلی را به‌طور موثرتری بیان و ارائه شود

۲- مدل‌سازی و معادلات سیستم

شکل ۱ یک ژيروسکوپ MEMS محور z را نشان می‌دهد. ژيروسکوپ ارتعاشی MEMS شامل یک جرم ثابت است که توسط فنرهای تعبیه شده معلق است که در آن از مکانیزم‌های حسگر و یک محرک الکترواستاتیکی برای وادار کردن حرکت نوسانی و سرعت جرم ثابت و حس کردن موقعیت استفاده می‌شود. قابی که جرم روی آن نصب شده است با سرعت ثابت حرکت کرده و ژيروسکوپ با سرعت زاویه‌ای Ω_z که به آهستگی تغییر می‌کند، می‌چرخد. نیروهای گریز از مرکز $m\Omega_z^2 \bar{x}$ و $m\Omega_z^2 \bar{y}$ بدلیل کوچک بودن جابجایی‌ها قابل صرف‌نظر بوده و نیروی کوریولیس در جهت عمود بر محورهای محرک و دورانی ایجاد می‌شود.



شکل ۱- ساختار ژيروسکوپ MEMS

معادلات دینامیکی این ژيروسکوپ را می‌توان بصورت زیر نوشت [۶].

$$\ddot{q} + (D + 2\Omega)\dot{q} + K_b q = u \quad (11)$$

که در آن

$$q = [\bar{x}, \bar{y}]^T, u = [u_{\bar{x}}, u_{\bar{y}}]^T$$

$$D = \begin{bmatrix} d_{xx} & d_{xy} \\ d_{xy} & d_{yy} \end{bmatrix}, \Omega = \begin{bmatrix} 0 & -\Omega_z \\ \Omega_z & 0 \end{bmatrix}, K_b = \begin{bmatrix} \omega_x^2 & \omega_{xy} \\ \omega_{xy} & \omega_y^2 \end{bmatrix} \quad (12)$$

$$\omega_x = \sqrt{\frac{k_{xx}}{m\omega_0^2}}, \omega_y = \sqrt{\frac{k_{yy}}{m\omega_0^2}}, \omega_{xy} = \frac{k_{xy}}{m\omega_0^2},$$

ω_0, m به ترتیب فرکانس طبیعی هر محور ژيروسکوپ و جرم معلق است.

می‌توان معادلات سیستم (۱۱) را بصورت زیر بازنویسی کرد.

$$\dot{x}(t) = Ax(t) + B(f(x, u)) \quad (13)$$

$$y(t) = Cx(t)$$

اثبات. با استفاده از رابطه (۱۶)، تابع هزینه (۱۷) را می توان بصورت زیر تقریب زد.

$$J \cong \frac{1}{2} \sum_{i=1}^n \int_{T_1}^{T_2} (X_i(t) - \hat{X}_i(t))^T \boldsymbol{\theta} \boldsymbol{\theta}^T (X_i(t) - \hat{X}_i(t)) dt$$

$$= \frac{1}{2} \sum_{i=1}^n (X_i(t) - \hat{X}_i(t))^T \int_{T_1}^{T_2} \boldsymbol{\theta} \boldsymbol{\theta}^T dt (X_i(t) - \hat{X}_i(t)) \quad (۱۹)$$

$$= \frac{1}{2} \sum_{i=1}^n (X_i(t) - \hat{X}_i(t))^T \boldsymbol{\Lambda} (X_i(t) - \hat{X}_i(t))$$

که طبق رابطه (۷) داریم:

$$\boldsymbol{\Lambda} = \int_{T_1}^{T_2} \boldsymbol{\theta} \boldsymbol{\theta}^T dt$$

$$= \begin{bmatrix} T_2 - T_1 & \dots & \frac{T_2^{r+1} - T_1^{r+1}}{(r+1)!} \\ \vdots & \vdots & \vdots \\ \frac{T_2^{r+1} - T_1^{r+1}}{(r+1)!} & \dots & \frac{T_2^{2r+1} - T_1^{2r+1}}{r!r!(2r+1)} \end{bmatrix} \quad (۲۰)$$

$$\boldsymbol{\Lambda} \in R^{r+1}$$

آنگاه شرط لازم برای بهینه سازی عبارتست از

$$\frac{\partial J}{\partial u_o} = \sum_{i=1}^n \frac{\partial (X_i(t) - \hat{X}_i(t))^T}{\partial u_o} \boldsymbol{\Lambda} (X_i(t) - \hat{X}_i(t)) = 0 \quad (۲۱)$$

برای حل رابطه (۲۱)، با استفاده از روابط (۸) و (۱۴) داریم:

$$[X_i(t) - \hat{X}_i(t)] = [e_i(t), e_{i+1}(t), \dots, e_2(t), f(x, u) - u_o(t), \dots, z_{i+r-3}(x, u, \dots, u^{[i+r-3]}) - u_o^{[i+r-3]}(t)]^T$$

$$= [\bar{E}_i, H_i]^T \quad (۲۲)$$

که در آن

$$\bar{E}_i = [e_i, \dots, e_n]^T, \quad i = 1, 2, \bar{E}_i \in R^{(3-i)}$$

$$H_i = [f(x, u) - u_o(t), \dots, z_{i+r-3}(x, u, \dots, u^{[i+r-3]}) - u_o^{[i+r-3]}(t)]^T, \quad i = 1, 2, H_i \in R^{r-3+i} \quad (۲۳)$$

لذا براساس (۲۲) و (۲۳)، رابطه (۲۱) را می توان بصورت زیر بازنویسی کرد.

$$\dot{E}(t) = \boldsymbol{A}E(t) + \boldsymbol{B}(f(x, u) - u_o) \quad (۱۱)$$

$$e_y(t) = \boldsymbol{C}E(t)$$

که در آن $e_i(t) = x_i(t) - \hat{x}_i(t)$ و $i = 1, 2$ ، $\boldsymbol{E}(t) = [e_1(t), e_2(t)]^T$ خطای تخمین هر حالت است.

به منظور تعیین $u_o(t)$ ، مشابه رابطه (۶) پیش بینی تخمین حالت $\hat{x}_i(t)$ در افق آتی با استفاده از بسط سری تیلور بصورت زیر بیان می شود:

$$\hat{x}_i(t + \tau) \cong \hat{x}_i(t) + \tau \dot{\hat{x}}_i(t) + \dots + \frac{\tau^r}{r!} \hat{x}_i^{[r]}(t) \quad (۱۲)$$

$$T_1 \leq \tau \leq T_2,$$

یا به عبارت دیگر

$$\hat{x}_i(t + \tau) \cong \boldsymbol{\theta}^T \hat{\boldsymbol{X}}_i(t) \quad (۱۳)$$

که در آن

$$\hat{\boldsymbol{X}}_i(t) \cong [\hat{x}_i(t), \hat{x}_i^{[1]}(t), \dots, \hat{x}_i^{[r]}(t)]^T$$

$$= [\hat{x}_i(t), \hat{x}_{i+1}(t), \dots, \hat{x}_2(t), u_o(t), \dots, u_o^{[i+r-3]}(t)]^T \quad (۱۴)$$

از طرفی پیش بینی خطای تخمین حالت ها به شکل برداری بصورت زیر قابل بیان است:

$$\boldsymbol{E}(t + \tau) = [e_1(t + \tau), e_2(t + \tau)]^T \quad (۱۵)$$

براساس روابط (۷) و (۱۳)، این پیش بینی خطای تخمین را می توان این چنین بیان نمود:

$$\boldsymbol{E}(t + \tau) = [x_1(t + \tau) - \hat{x}_1(t + \tau), x_2(t + \tau) - \hat{x}_2(t + \tau)]^T$$

$$\cong [(X_1(t) - \hat{X}_1(t)), (X_2(t) - \hat{X}_2(t))]^T \boldsymbol{\theta} \quad (۱۶)$$

هدف اصلی، یافتن $u_o(t)$ به عنوان بخشی از رولتگر پیشنهادی است، بطوریکه پیش بینی خطای تخمین حالت های سیستم طبق تابع هزینه زیر کمینه گردد.

$$J = \frac{1}{2} \int_{T_1}^{T_2} \boldsymbol{E}^T(t + \tau) \boldsymbol{E}(t + \tau) dt \quad (۱۷)$$

که در آن T_1 و T_2 به ترتیب زمان های پیش بینی پایین و بالا هستند.

قضیه ۱. سیستم غیر خطی (۳) و تابع هزینه (۱۷) را در نظر بگیرید. بر مبنای پیش بینی خطای تخمین تعریف شده در (۱۵)، سیگنال $u_o(t)$ در رولتگر پیشنهادی (۱۰) که تابع هزینه (۱۷) را کمینه می کند، بصورت زیر حاصل می شود:

$$u_o(t) = f(x, u) + \boldsymbol{K}E(t) \quad (۱۸)$$

که در آن $\boldsymbol{K} = [k_1, k_2]$ و در ادامه تعیین می گردد.

از جایگذاری (۳۱) در (۲۸) استفاده از حاصل رابطه (۲۸) در (۲۶) رابطه ماتریسی زیر بدست می‌آید که از حل آن به سادگی بردار K حاصل شده و اثبات کامل می‌گردد.

$$\gamma_r K A_{c1}^{(r-1)} + \dots + \gamma_1 K + \bar{K} = 0 \quad (۳۲)$$

لذا براساس نتیجه قضیه ۱ یعنی رابطه (۲۷)، دینامیک رویتگر پیشنهادی (۱۰) بصورت زیر بدست می‌آید:

$$\begin{aligned} \dot{\hat{x}}(t) &= A\hat{x}(t) + B(f(x, u) + KE(t)) \\ \hat{y}(t) &= C\hat{x}(t) \end{aligned} \quad (۳۳)$$

از آنجا که در این رویتگر، از سیگنال x استفاده شده است، در ادامه برای رویتگر پیشنهادی، سیگنال جدید $\hat{u}_o(t)$ تعریف شده به صورت زیر، به جای سیگنال $u_o(t)$ ، بکار گرفته می‌شود:

$$\hat{u}_o(t) = f(\hat{x}, u) + KE(t) \quad (۳۴)$$

و همچنین در پایان این مقاله نشان داده خواهد شد که $\lim_{t \rightarrow \infty} \hat{u}_o(t) = u_o(t)$ حال دینامیک خطا را می‌توان بصورت زیر نوشت.

$$\dot{E}(t) = AE(t) + B(f(x, u) - \hat{u}_o(t)) \quad (۳۵)$$

جایگذاری (۳۴) در (۳۵) داریم:

$$\begin{aligned} \dot{E}(t) &= AE(t) + B(-KE(t) + f(x, u) \\ &\quad - f(\hat{x}, u)) \\ &= A_c E(t) + B(f(x, u) - f(\hat{x}, u)) \end{aligned} \quad (۳۶)$$

حال ماتریس $\bar{A}_c = A - LC$ را تعریف می‌کنیم. با توجه رویت پذیر بودن (A, C) ، دینامیک خطا بصورت زیر قابل باز نویسی است.

$$\begin{aligned} \dot{E} &= AE - Le_y(t) + B(f(x, u) - f(\hat{x}, u)) \\ &= \bar{A}_c E + B(f(x, u) - f(\hat{x}, u)) \\ e_y(t) &= y(t) - \hat{y}(t) = CE(t) \end{aligned} \quad (۳۷)$$

که بیانگر آن است که دینامیک رویتگر بهینه پیشنهادی بصورت زیر است.

$$\begin{aligned} \dot{\hat{x}}(t) &= A\hat{x}(t) + Le_y(t) + B(f(\hat{x}, u, t)) \\ \hat{y}(t) &= C\hat{x}(t) \end{aligned} \quad (۳۸)$$

از رابطه زیر می‌توان برای بدست آوردن L استفاده کرد.

$$\lambda(A - LC) = \lambda(A_c) \quad (۳۹)$$

که λ مقدار ویژه ماتریس و مطابق قضیه (۱)، A_c بطور بهینه تعیین می‌گردد.

$$\begin{aligned} &\left[0_{1 \times r} \quad , \left(\frac{\partial H_1}{\partial u_0} \right)^T \right] A (x_1(t) - \bar{x}_1(t)) \\ &+ \left[0_{1 \times 1} \quad , \left(\frac{\partial H_n}{\partial u_0} \right)^T \right] A (x_2(t) - \bar{x}_2(t)) \\ &= \left[0_{1 \times r} \quad , \left(\frac{\partial H_1}{\partial u_0} \right)^T \right] A \begin{bmatrix} \bar{E}_1 \\ H_1 \end{bmatrix} + \dots \\ &+ \left[0_{1 \times 1} \quad , \left(\frac{\partial H_2}{\partial u_0} \right)^T \right] A \begin{bmatrix} \bar{E}_2 \\ H_2 \end{bmatrix} = 0 \end{aligned} \quad (۲۴)$$

و در نتیجه رابطه زیر بدست می‌آید.

$$\begin{aligned} &[\Lambda_{r+1,1}, \dots, \Lambda_{r+1,r+1}] \begin{bmatrix} \bar{E}_1 \\ H_1 \end{bmatrix} + \dots \\ &+ [\Lambda_{2,1}, \dots, \Lambda_{2,r+1}] \begin{bmatrix} \bar{E}_2 \\ H_2 \end{bmatrix} = 0 \end{aligned} \quad (۲۵)$$

که در آن $\Lambda_{i,j}$ بیانگر المان سطر i ام و ستون j ام ماتریس Λ است. با ساده سازی رابطه (۲۴) داریم:

$$\begin{aligned} &\gamma_r (z_{r-1}(x, u, \dots, u^{[r-1]}) - u_o^{[r-1]}) + \dots \\ &+ \gamma_1 (f(x, u) - u_o(t)) \\ &= \sum_{i=1}^n \bar{k}_i e_i(t) = \bar{K}E(t) \end{aligned} \quad (۲۶)$$

که در آن γ_i و $\bar{K} = [\bar{k}_1, \bar{k}_2]$ معلوم و بر مبنای ماتریس Λ تعیین می‌گردند.

$$u_o(t) = f(x, u) + KE(t) \quad (۲۷)$$

حال برای محاسبه صحیح بردار K از آنجا که مشتق‌های زمانی عبارت $f(x, u)$ تا مرتبه $r - 1$ در رابطه (۸) مشخص شده‌اند، داریم:

$$\begin{aligned} u_o(t) &= f(x, u) + KE(t) \\ \dot{u}_o(t) &= z_1(x, u, \dot{u}) + KE(t) \\ &\vdots \end{aligned} \quad (۲۸)$$

$$u_o^{[r-1]} = z_{r-1}(x, u, \dots, u^{[r-1]}) + KE^{[r-1]}$$

سپس با توجه به $u_o(t)$ در رابطه (۲۸)، رابطه دینامیک خطا در (۱۱) را می‌توان بصورت زیر نوشت.

$$\begin{aligned} \dot{E}(t) &= AE(t) + B(-KE(t)) = A_{c1}E \\ e_y(t) &= CE(t) \end{aligned} \quad (۲۹)$$

که در آن

$$\begin{aligned} A_{c1} &= A - BK \\ &= \begin{bmatrix} 0 & 1 \\ -k_1 & -k_2 \end{bmatrix} \end{aligned} \quad (۳۰)$$

با استفاده از رابطه (۲۹) مشتقات خطای E بصورت زیر حاصل می‌شود.

$$\begin{aligned} \dot{E}(t) &= A_{c1}E(t) \\ E^{[2]}(t) &= A_{c1}^{(2)}E(t) \\ &\vdots \\ E^{[r-1]}(t) &= A_{c1}^{(r-1)}E(t) \end{aligned} \quad (۳۱)$$

$$\dot{V} < -e^{2\bar{\gamma}t} Q \|E\| \quad (48)$$

بنابراین، $E_a(t)$ پایدار مجانبی و در نتیجه $E(t)$ با توجه به رابطه $E(t) = e^{-\bar{\gamma}t} E_a(t)$ پایدار نمایی است. در نتیجه خطای تخمین در (۳۷) پایدار نمایی بوده و اثبات کامل است.

در قضیه (۲) همگرایی نمایی خطای تخمین به صفر اثبات شد. بر همین اساس، برای تمامی $t \geq 0$ وجود دارد یک عدد مثبت β بطوریکه

$$\|x(t) - \hat{x}(t)\| \leq \beta \|x(0) - \hat{x}(0)\| e^{-\bar{\gamma}t} \quad (49)$$

که طبق فرض (۲) داریم.

$$\|f(x, u) - f(\hat{x}, u)\| < \alpha \beta \|x(0) - \hat{x}(0)\| e^{-\bar{\gamma}t} \quad (50)$$

در نتیجه عبارت پیش‌بین رویتگر پیشنهادی، یعنی $\hat{u}_o(t)$ در (۳۴) بطور مجانبی به مقدار بهینه خود در رابطه (۱۸) میل می‌کند و یا به عبارتی

$$\lim_{t \rightarrow \infty} \hat{u}_o(t) = u_o(t) \quad (51)$$

در نتیجه، این رابطه نشان می‌دهد عبارت $\hat{u}_o(t)$ در رویتگر پیشنهادی بطور نمایی به مقدار بهینه $u_o(t)$ آن در میل می‌کند. سرعت همگرایی رویتگر پیشنهادی به مقدار $\bar{\gamma}$ در رابطه (۴۹) محدود می‌شود. با انتخاب زمان‌های پیش‌بینی T_1 و T_2 ، مقادیر ویژه ماتریس A_c در (۲۰) تغییر می‌کند و نرخ همگرایی نمایی بدست می‌آید.

۴- شبیه‌سازی

در شبیه‌سازی پارامترهای ژيروسکوپ بصورت زیر در نظر گرفته می‌شود. دقت شود فرکانس طبیعی هر محور ژيروسکوپ $\omega_0 = 1kHz$ در رابطه (۲) فرض شده است.

$$\begin{aligned} m &= 1.8 \times 10^{-7} kg & k_{xy} &= 12.779 N/m \\ d_{xy} &= 3.6 \times 10^{-7} Ns/m & k_{xx} &= 63.995 N/m \\ d_{xx} &= 1.8 \times 10^{-6} Ns/m & k_{yy} &= 95.92 N/m \\ d_{yy} &= 1.8 \times 10^{-6} Ns/m & d_{yy} &= 1.8 \times 10^{-6} Ns/m \\ \omega_x^2 &= 355.3 & \omega_y^2 &= 355.3 \\ \omega_{xy} &= 70.99 & \Omega_z &= 0.1 \end{aligned}$$

شرایط اولیه سیستم و رویتگر به ترتیب بصورت $x(0) = [0, 1, -0.1, 0, 0]^T$ و $\hat{x}(0) = [0, 0, 0, 0]^T$ و ورودی کنترل $u = [10, 10]^T$ است. با استفاده از روند طراحی اشاره شده، به ازای زمان‌های پیش‌بینی $T_1 = 0, T_2 = 100ms$ و مرتبه بسط تیلور $r = 2$ بهره رویتگر بصورت $L = [26.67, 400]$ بدست می‌آید. شکل‌های (۲) و (۳) نتایج شبیه‌سازی رویتگر پیشنهادی را نشان می‌دهد. همانطور که از نمودار شکل‌ها مشاهده می‌شود، عملکرد رویتگر پیشنهادی مناسب و همگرایی حالت‌های رویتگر به حالت‌های واقعی سیستم بخوبی انجام می‌گیرد.

فرض ۲. برای هر عدد مثبت ε و $\bar{\gamma}$ ، وجود دارد ماتریس‌های معین مثبت P و Q

$$\bar{A}_c^T P + P \bar{A}_c + 2\bar{\gamma}P + \varepsilon(PB)(PB)^T + \frac{1}{\varepsilon} \alpha^2 I = -Q \quad (40)$$

قضیه ۲. رویتگر غیرخطی بهینه (۳۸) و دینامیک خطای تخمین (۳۷) مفروض است. با توجه به فرض‌های (۱) و (۲) دینامیک خطای تخمین، پایدار نمایی است.

اثبات. برای اثبات پایداری نمایی متغیر جدید زیر را در نظر می‌گیریم.

$$E_a(t) = e^{\bar{\gamma}t} E(t) \quad (41)$$

که در آن $\bar{\gamma}$ عدد ثابت مثبت است.

تابع لیاپانوف زیر که در آن P ماتریس معین مثبت تعریف شده در فرض (۲) است.

$$V = E_a^T P E_a \quad (42)$$

مشتق‌گیری از تابع لیاپانوف نتیجه می‌دهد.

$$\dot{V} = \dot{E}_a^T P E_a + E_a^T P \dot{E}_a \quad (43)$$

استفاده از رابطه (۴۱) و جایگذاری (۳۷) در (۴۳) داریم.

$$\begin{aligned} \dot{V} = e^{2\bar{\gamma}t} \{ & E^T (\bar{A}_c^T P + P \bar{A}_c + 2\bar{\gamma}P) E \\ & + (f(x, u) \\ & - f(\hat{x}, u))^T (PB)^T E \\ & + E^T PB(f(x, u) \\ & - f(\hat{x}, u)) \} \end{aligned} \quad (44)$$

از طرفی، بطور کلی برای هر ماتریس X, Y و هر عدد مثبت ε نامساوی‌های زیر برقرار است.

$$X^T Y + Y^T X \leq \frac{1}{\varepsilon} X^T X + \varepsilon Y^T Y \quad (45)$$

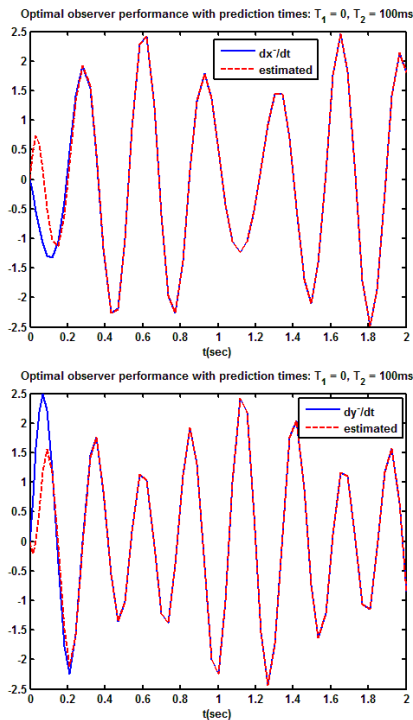
حال برای $Y = (PB)^T E, X = f(x, u) - f(\hat{x}, u)$ و استفاده از فرض (۲) بدست می‌آوریم.

$$\begin{aligned} & (f(x, u) - f(\hat{x}, u))^T (PB)^T E \\ & + E^T PB(f(x, u) - f(\hat{x}, u)) \\ & \leq \frac{1}{\varepsilon} |f(x, u) - f(\hat{x}, u)|^2 + \varepsilon E^T PB(PB)^T E \end{aligned} \quad (46)$$

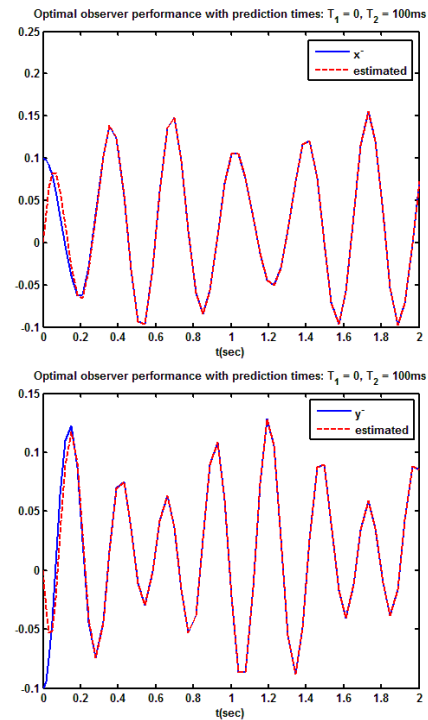
$$\begin{aligned} & \leq \frac{1}{\varepsilon} \alpha^2 E^T E + \varepsilon E^T PB(PB)^T E \\ & \text{بنابراین، با استفاده از رابطه (۴۶) در (۴۴) داریم:} \end{aligned}$$

$$\begin{aligned} \dot{V} \leq e^{2\bar{\gamma}t} E^T \left(\bar{A}_c^T P + P \bar{A}_c + 2\bar{\gamma}P + \varepsilon PB(PB)^T \right. \\ \left. + \frac{1}{\varepsilon} \alpha^2 I \right) E \end{aligned} \quad (47)$$

حال با استفاده از فرض (۲) رابطه (۲-۸۵) نتیجه می‌دهد.



شکل ۳- نرخ جابجایی و تخمین آن در هر دو محور MEMS



شکل ۲- جابجایی و تخمین آن در هر دو محور MEMS

۵- نتیجه گیری

در این مقاله یک روش جدید در طراحی رویتگر بهینه ژبروسکوپ معرفی گردید. در ابتدا، خطای پیش‌بینی با استفاده از بسط سری تیلور با مرتبه دلخواه که تقریب مناسبی از رفتار سیستم غیرخطی را نتیجه می‌دهد، تقریب زده می‌شود. این بدان معناست که هیچ محدودیتی در مرتبه بسط سری تیلور وجود ندارد و بنابراین از نظر تئوری راه حل تحلیلی ارائه شده در این مقاله می‌تواند با هر دقت مشخصی به مسئله پیش‌بینی نزدیک شود. سپس، تابع هزینه شامل خطای پیش‌بینی به صورت تحلیلی کمینه‌سازی شده و منجر به ارائه بهره بهینه رویتگر پیشنهادی می‌شود. علاوه بر این، در این رویتگر پیشنهادی، پایداری نمایی خطای تخمین اثبات شد. از آنجا که در این رویکرد نیازی به بهینه‌سازی برخط نیست، پیاده سازی رویتگر پیشنهادی به سادگی قابل انجام است. علاوه بر این، زمان‌های مختلف پیش‌بینی منجر به بهره‌های رویتگر مختلفی می‌شود که نرخ‌های هم‌گرایی خطای تخمین مختلفی نیز ارائه می‌دهد. به این ترتیب، بهره رویتگر را می‌توان از میان بهره‌های متناظر با سرعت همگرایی مطلوب انتخاب کرد. کارایی این رویتگر از طریق شبیه‌سازی نشان داده شد.

۶- مراجع

- [1] J. Fei and C. Batur, "A novel adaptive sliding mode control with application to MEMS gyroscope," *ISA Trans* 2009, vol. 48, no. 1, pp. 73–80, 2009.
- [2] C. Batur, T. Sreeramreddy and Q. Khasawneh, "Sliding mode control of a simulated MEMS gyroscope," *ISA Trans*, vol. 45, no. 1, pp. 99–108, 2006.
- [3] TH. Hanley, BJ. Gallacher and HTD. Grigg, "On the exploitation of mode localization in surface acoustic wave MEMS," *Mech Syst Signal Process*, 2016.
- [4] S. Chong, S. Rui, L. Jie, Z. Xiaoming, T. Jun, S. Huiliang and C. Huiliang, "Temperature drift modeling of MEMS gyroscope based on genetic-Elman neural network," *Mech Syst Signal Process*, vol. 72, pp. 897–905, 2016.
- [5] M. Fazlyab, MZ. Pedram, H. Salarieh and A. Alasty, "Parameter estimation and interval type-2 fuzzy sliding mode control of a z-axis MEMS gyroscope," *ISA Trans*, vol. 52, no. 6, pp. 900–11, 2013.
- [6] W. Yan, S. Hou, Y. Fang and J. Fei, "Robust adaptive nonsingular terminal sliding mode control of MEMS gyroscope using fuzzy-neural-network compensator," *Int J Mach Learn Cybern*, 1–13, 2016.
- [7] M. Rahmani, "MEMS gyroscope control using a novel compound robust control," *ISA Trans*, vol. 73, pp. 38–43, 2018.
- [8] PE. Moraal, and J.W. Grizzle, "Observer design for non-linear systems with discrete-time measurement," *IEEE Transaction on Automatic Control*, vol. 40, no. 3, pp. 395–404, 1995.
- [9] C.V. Rao, J.B. Rawlings and , D.Q. Mayne,

- “Constrained state estimation for non-linear discrete-time systems: Stability and moving horizon approximation,” *IEEE Transaction on Automatic Control*, vol. 48, no. 2, 246-258, 2003.
- [10] P. Kühn, M. Diehl, T. Kraus, J.P. Schlöder, and, H.G. Bock, “A real-time algorithm for moving horizon state and parameter estimation,” *Computer and Chemical Engineering Computer and Chemical Engineering*, vol. 35, no. 2, 71-83, 2011.
- [11] A. Alessandri, M. Baglietto, and, G. Battistelli, “Receding horizon estimation for discrete time linear systems,” *IEEE Transaction on Automatic Control*, vol. 48, no. 3, 473-478, 2003.
- [12] M. Almir, *Non-linear Moving Horizon Observers: Theory and Real-Time Implementation*. In: Besançon G *Non-linear Observers and Application, Lecture Notes in Control and Information Sciences*. Springer, Berlin, Heidelberg, 139-179.
- [13] M. Almir, “A new identification framework for off-Line computation of moving-horizon observers,” *IEEE Transaction on Automatic Control*, vol. 58, no. 6, 1877-1882, 2013.
- [14] A. Alessandri, M. Baglietto and, G. Battistelli “Moving-horizon state estimation for non-linear discrete-time systems: New stability results and approximation schemes,” *Automatica*, vol. 44, no. 7, 1733-1765, 2008.
- [15] A. Alessandri, M. Baglietto and, G. Battistelli “Moving-horizon state estimation for non-linear systems using neural networks,” *Transaction on Neural Networks*, vol. 22, no. 5, 768-780, 2011.
- [16] K. Ramar, and, V. Gourishankar “Optimal observers with specified eigenvalues,” *International Journal of Control*, vol. 27, no. 2, 239-244, 1976.
- [17] Fu.I. Chou, and, M.Y. Cheng . “Optimal design of reduced-order observers with specified eigenvalues and performance measurement of minimizing estimation errors using evolutionary optimization,” *Journal of Low Frequency Noise, Vibration and Active Control*, vol. 38, no. 2, 728-739, 2019.
- [18] J. Na, M. G. Herrmann, and K. Vamvoudakis, “Adaptive optimal observer design via approximate dynamic programming,” in *American Control Conference IEEE*, Seattle, Washington, 2017, pp. 3288-3293.